

Comparison of Three Staining Methods of Vibratome and Paraffin Sections in Preserving Thickness of Rat Hippocampal Sections

Hagi maghsoodi F., M.Sc., Hosseini sharifabad M., Ph.D.* , karim zade A., M.D.

* *P.O.Box:638, Anatomy Department, Medical Sciences Yazd University, Yazd, Iran*

Abstract

Purpose: To determine the optimal technique for maintaining hippocampus vibratome sections volume.

Materials and Methods: This experimental study was performed on three rat hippocampus. The first hippocampus was embedded in paraffin and using rotary microtome forty sections were cut in a nominal thickness of 100 micrometer. They were then ordinary stained. The two others were cut into 80 sections by a calibrated vibratome to 100 μ m thick sections. The first 40 series of vibratome sections were routinely stained and the second sections stained free-floating and embedded in resin with thionin. Section thickness was measured with a microcator mounted to a microscope. The distribution of neurons in section's density was assessed.

Results: The findings showed that Means \pm SD in free-floated and routine-stained vibratome sections were 74.5 ± 6.18 , 41.2 ± 4.33 respectively while in paraffin sections was 46.3 ± 5.95 . Also the results indicated that neuronal density in the upper and lower surface of free-floated sections was lower while the distribution in the 70% of the middle part of the section was fairly uniform. Neuronal density in the upper and lower surface of ordinary stained vibratome sections was higher.. Paraffin sections had higher neuronal densities at upper and lower surface while a lower and non-uniform distribution of neurons was observed at the central layer.

Conclusion: The most critical stage in routine staining procedure of vibratome sections is the duration that they are dried in air and on glass slides that results to permanent reduced thickness of sections. However in resin embedding procedure the reduced thickness of sections was minimal because the sections are not exposed to air at any stages. On the other hand, the consistent distribution of neurons in the most part of section thickness allows one to estimate stereologically the number of neurons in hippocampus using vibratome sections.

Key words: Vibratome Sections, Section Thickness, Compress

مقایسه سه روش رنگ آمیزی مقاطع ویبرتومی و پارافینی در حفظ ضخامت بافت هیپوکامپوس رت

فاطمه حاجی مقصودی، M.Sc.*، محمد حسینی شریف آباد، Ph.D.*، علی کریم زاده، M.D.**

* گروه آناتومی دانشگاه علوم پزشکی شهید صدوقی

** دستیار بیماریهای داخلی دانشگاه علوم پزشکی کرمان

تاریخ ارسال: اسفند ماه ۸۶، تاریخ پذیرش: اردیبهشت ماه ۸۷

چکیده

هدف: تعیین روش مطلوب برای حفظ ضخامت برشهای ویبرتومی هیپوکامپوس

مواد و روشها: این مطالعه تجربی روی هیپوکامپوس سه رت انجام گرفت. یک هیپوکامپوس به روش پارافینی قالب گیری و با میکروتوم چرخان ۴۰ برش با ضخامت ۱۰۰ میکرون تهیه و به روش معمولی رنگ آمیزی شد. از دو هیپوکامپوس دیگر ۸۰ برش به ضخامت ۱۰۰ میکرون با دستگاه ویبرتوم بریده شد که در دو گروه ۴۰ تایی به روش معمولی و روش رنگ آمیزی شناور و قالب گیری در رزین با تیونین رنگ آمیزی شدند. سپس به کمک دستگاه میکروکاتور که به میکروسکوپ متصل است ضخامت برشها را اندازه گیری نموده و توزیع نوروها در ضخامت برش ارزیابی شد.

یافته‌ها: نتایج نشان داد که میانگین و انحراف معیار به ترتیب در مقاطع ویبرتومی رنگ شده به روش شناور و به روش معمول و تحتانی برشهای ویبرتومی که به طور شناور رنگ آمیزی شده بودند تراکم سلولی کمتر است اما در ۷۰ درصد میانی ضخامت برش تراکم تقریباً یکنواخت است و در برشها با رنگ آمیزی معمولی سطوح فوقانی و تحتانی تراکم سلولی بیشتری دارند. اما در سطوح فوقانی و تحتانی برشهای پارافینی تراکم نورونی بیشتر و در نواحی مرکزی تراکم نورونی کمتر و غیر یکنواخت است.

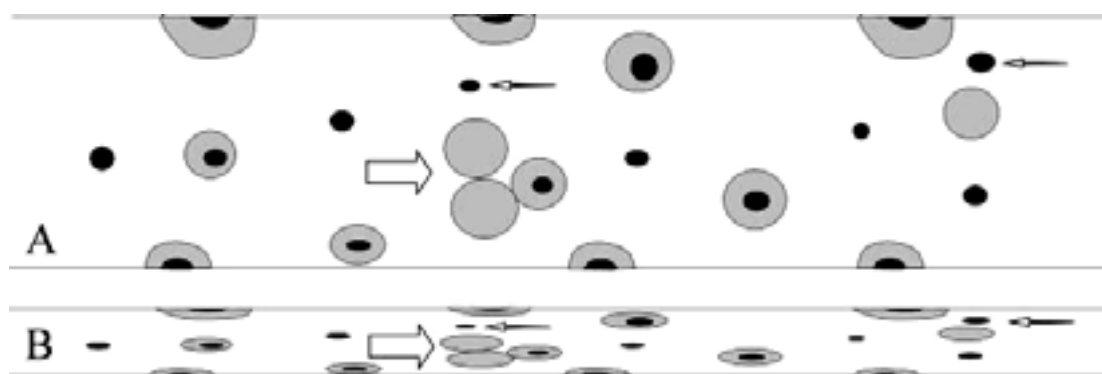
نتیجه‌گیری: حساس ترین مرحله رنگ آمیزی معمولی برشهای ویبرتومی زمانی است که برای خشک شدن در معرض هوا و روی لام قرار می گیرند که این عمل منجر به کاهش غیر قابل بازگشت ضخامت برش می شود اما در روشی که برش در رزین قرار داده می شود، چون در هیچ یک از مراحل مختلف رنگ آمیزی، برشها در معرض هوا قرار نمی گیرند کاهش ضخامت برش به حداقل می رسد. از طرفی توزیع یکنواخت نوروها در بخش اعظم ضخامت برش، محاسبه استریولوژیک تعداد نوروها را در هیپوکامپوس با استفاده از برشهای ویبرتومی میسر می سازد.

کلیدواژه‌ها: برشهای ویبرتومی، ضخامت، فشردگی

مقدمه

امروزه روشهای استریولوژی (مطالعه سه بعدی بافت) برای کسب اطلاعات کمی بدون تورش (Unbiased) از سلولها، بافتها، ارگانها و ارگانیزمها کاربرد فراوانی دارد [۱]. این گونه اطلاعات دقیق برای ارزیابی پیشرفت بیماریهای دژنراتیو، یا ارزیابی مداخلات مکانیکی و فارماکولوژیکی در مطالعات بیولوژیک اهمیت زیادی دارند. برای بررسی تغییرات کمی پارامترهای مختلف باید از ساختمانهای مورد نظر برشهای بافتی تهیه شده و به کمک میکروسکوپ مطالعه شود. به کارگیری برخی روشهای استریولوژی که بر نمونه گیری یکنواخت اجزا در ضخامت بافت (که اصطلاحاً دایسکتور اپتیکال (Optical Disector) نامیده می شود) مستلزم تهیه برشهای ضخیم بافتی (با ضخامت ۲۵ میکرون و بالاتر) هستند [۲] امکان تهیه چنین برشهایی به وسیله اغلب روشهای متداول تهیه برش بافتی وجود دارد. امروزه در آزمایشگاههای نوروساینس بوفور از دستگاه ویرتوم (Vibratome) برای تهیه مقاطع بافتی ضخیم مغز استفاده می شود. برای تهیه مقاطع ویرتومی، نیازی به طی مراحل آماده سازی بافت نیست بنابراین نسبت به سایر روشهای تهیه مقطع بافت شناسی روشی آسان، سریع و ارزان است. و به علاوه،

در روشهای ایمونوهیستوشیمیایی، اغلب آنتی بادیها در این مقاطع نفوذ می کنند [۳]. علیرغم این مزایا عیب این روش آن است که مقاطع ویرتومی در روند رنگ آمیزی، دچار تغییر شکل و کلاپس می شود که تفکیک و باز شناسی سلولها و به تبع آن نمونه گیری یکنواخت اجزاء را مخصوصاً در مناطق پر سلول مغز مانند هیپوکامپوس با مشکل مواجه می کند (شکل ۱). هیپوکامپوس بخشی از مغز است که در فرایند یادگیری و حافظه نقش اساسی دارد و مورد آزمایشهای فراوان تجربی است [۴]. اما با توجه به نقیصه ذکر شده، در مطالعات مورفومتریک هیپوکامپوس از برشهای ویرتومی کمتر استفاده می شود و در صورت استفاده به دلیل تغییر شکل بافت، داده های حاصل دارای تورش بوده و قابل استناد نیست. بنابراین به کارگیری روشی در رنگ آمیزی برشهای ویرتومی که به حفظ ضخامت بیانجامد یا لاقط کاهش ضخامت بافت به صورت یکسان و یکنواخت باشد کمک شایانی به مطالعات مربوطه می کند. بنابراین، این مطالعه با هدف جستجوی روشی ایده آل در رنگ آمیزی برشهای ویرتومی برای حفظ ضخامت بافت و مقایسه آن با برشهای معمول پارافینی صورت گرفت.



شکل ۱. شکل عدم تفکیک و شناسایی سلولها در برشهای کلاپس (فشرده) شده

A- برشی را نشان می دهد که پیش از انجام رنگ آمیزی قرار داشته و ضخامت اصلی خود را دارد. سلولها (فلش) به راحتی شناسایی و شمرده می شوند.
B- برش مذکور را پس از خشک شدن در معرض هوا نشان می دهد که دچار کاهش ضخامت شده و سلولها به راحتی قابل تفکیک و شمارش نیستند

مواد و روشها

یک رت نر دو ماهه از نژاد ویستار را با تزریق داخل صفاقی اورتان بیهوش نموده و با پرفیوژن داخل قلبی محلول فرمالدئید ۴ درصد، گلو تارالدئید ۱ درصد در بافر فسفات، مغز تثبیت و از مجمه بیرون آورده و در ظرفهای محتوی ماده تثبیت کننده نگهداری شد تا کاملاً تثبیت شود. مغز را با یک برش میانی به دو نیمه تقسیم کرده و یکی از نیمکره های مغز برای تهیه مقاطع ویرتومی و دیگری برای تهیه مقاطع پارافینی استفاده شد.

برای تهیه مقاطع ویرتومی از بخش خلفی مغز که حاوی هیپوکامپوس است برشهایی با ضخامت ۱۰۰ میکرون با دستگاه ویرتوم کالیبره شده تهیه و در ظرف محتوی تثبیت کننده جمع آوری و مقاطع ویرتومی به دو روش به شرح زیر رنگ آمیزی شد.

روش اول: مقطع روی لام ژلاتینه چسبانده شد و پس از خشک شدن. ۱ با تیونین ۰/۱ درصد رنگ نموده سپس با الکل های درجه بندی شده آبیگری و در گزلیل شفاف شده و در نهایت لامل با انتلان چسبانده شد.

روش دوم: مقطع ویرتومی در سبد مخصوص قرار داده شد و پس از رنگ نمودن و شستشوی رنگ اضافی، در الکل های درجه بندی آبیگری و پس از شفاف نمودن در گزلیل به مدت سه ساعت در ظرف محتوی اپوکسی رزین قرار داده شد و سپس روی لام منتقل و به مدت ۱۲ ساعت در درجه حرارت ۶۰ درجه سانتیگراد قرار داده شد تا رزین پلیمریزه شود.

برای تهیه مقاطع پارافینی، پس از طی مراحل آماده سازی بافتی روی هیپوکامپ، مقاطع در پارافین قالب گیری و با میکروتوم روتاری از آن برشهایی به ضخامت ۱۰۰ میکرون تهیه و روی لام ژلاتینه منتقل شد. برای رنگ آمیزی، پس از حل نمودن پارافین موجود در بافت با گزلیل، در تیونین

۰/۱ درصد قرار داده شدند، پس از شستشوی رنگ اضافی، با آب، با الکل های درجه بندی شده آبیگری شده، در گزلیل شفاف شده و با چسب انتلان لامل روی آن چسبانده شد.

در نهایت برشهای رنگ شده به کمک میکروسکوپی که به ضخامت سنج با دقت ۰/۵ میکرون مجهز بود بررسی شده و ضخامت هر برش اندازه گیری و ثبت شد. برای بررسی چگونگی توزیع نورون در ضخامت برشها، با لنز روغنی میکروسکوپ، برشها از سطح به عمق سیر شده و تعداد هسته های نورونی که به دید می آمدند با یادداشت ضخامت ناحیه شمارش، ثبت شد. ضخامت نهایی هر برش به دهک (۰ تا ۱۰۰ درصد) تقسیم نموده و تعداد نورون در هر دهک محاسبه شد. ابعاد نمونه برداری به گونه ای انتخاب شد که در هر روش بیش از ۴۰۰ نورون شمرده شود.

داده ها به وسیله نرم افزار آماری SPSS مورد تجزیه و تحلیل قرار گرفت و از آزمون آماری آنالیز واریانس (ANOVA) برای مقایسه میانگین استفاده شد.

یافته ها

اطلاعات نشان داد که حداقل و حداکثر ضخامت نهایی برشهای ویرتومی که به روش شناور رنگ آمیزی شده اند به ترتیب ۶۲/۳ و ۸۶/۹ میکرون است، در حالی که این میزان در برشهای ویرتومی رنگ آمیزی شده به روش معمولی ۳۳/۹ و ۴۹/۳ میکرون است. حداقل و حداکثر ضخامت نهایی برشهای پارافینی نیز ۳۶/۰ و ۵۸/۵ میکرون بود.

مقادیر میانگین ضخامت، انحراف معیار، ضریب تغییرات و خطای معیار میانگین در جدول یک آورده شده است. میانگین و انحراف معیار به ترتیب در مقاطع ویرتومی رنگ شده به روش شناور و به روش معمول $6/18 \pm 74/5$ و $4/33 \pm 41/2$ میکرون و در مقاطع پارافینی $5/95 \pm 6/3$ است.

بر اساس آن در سطوح فوقانی و تحتانی برش تراکم سلولی بیشتر و در نواحی مرکزی تراکم تقریباً یکنواختی وجود داشته است. و نمودار ۳ نشان می دهد که در سطوح فوقانی و تحتانی برشهای پارافینی تراکم نورونی بیشتر و در نواحی مرکزی تراکم نورونی کمتر و غیر یکنواخت است. شکل ۲ نیز تراکم هسته نوروهای CA3 هیپوکامپوس را در سه روش رنگ آمیزی در سطوح فوقانی و تحتانی و مرکز برش نشان می دهد.

جدول ۱. نشان می دهد که اختلاف معنی داری بین میانگین ضخامت نهایی برشها در دو روش مورد مطالعه وجود دارد ($p=0.000$).

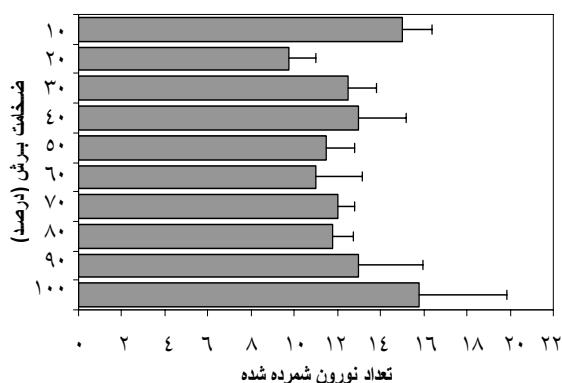
نمودار ۱ نشان می دهد که در سطوح فوقانی و تحتانی برشهای ویبرتومی که به طور شناور رنگ آمیزی و در داخل رزین قالب گیری شده بودند تراکم سلولی کمتر است اما در ۷۰ درصد میانی ضخامت برش تراکم تقریباً یکنواخت است و نمودار ۲ چگونگی توزیع نوروها در ضخامت برشهای ویبرتومی که به روش معمول تهیه شده اند را نشان می دهد.

جدول ۱. مقادیر میانگین ضخامت، انحراف معیار، ضریب تغییرات و خطای معیار میانگین برشهای مورد مطالعه

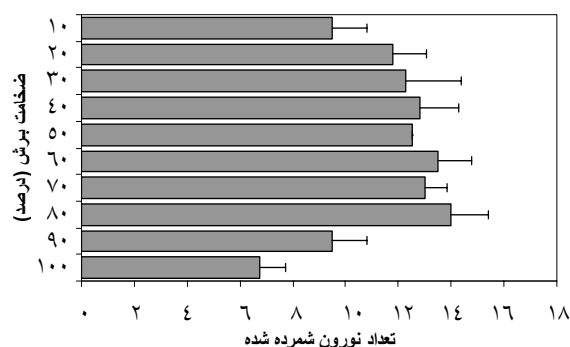
برشهای پارافینی (رنگ آمیزی معمول)	برشهای ویبرتومی (رنگ آمیزی معمول)	برشهای ویبرتومی (رنگ آمیزی شناور و قالب گیری در رزین)	
46.3 ± 5.95	41.2 ± 4.33	74.5 ± 6.18	میانگین و انحراف معیار
۰/۳	۰/۱۰	۰/۰۸	ضریب تغییرات
۰/۹۴	۰/۶۹	۰/۹۸	خطای معیار میانگین

$p=0/000$

فوقانی و تحتانی این برشها تراکم نورونی کمتر و در نواحی مرکزی، تراکم نورونی بیشتر و تقریباً یکنواخت است.



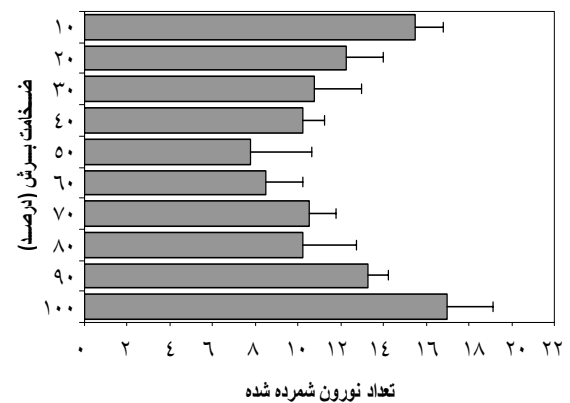
نمودار ۲. توزیع نوروها در ضخامت برشهای ویبرتومی هیپوکامپوس رت (رنگ شده به روش معمولی)



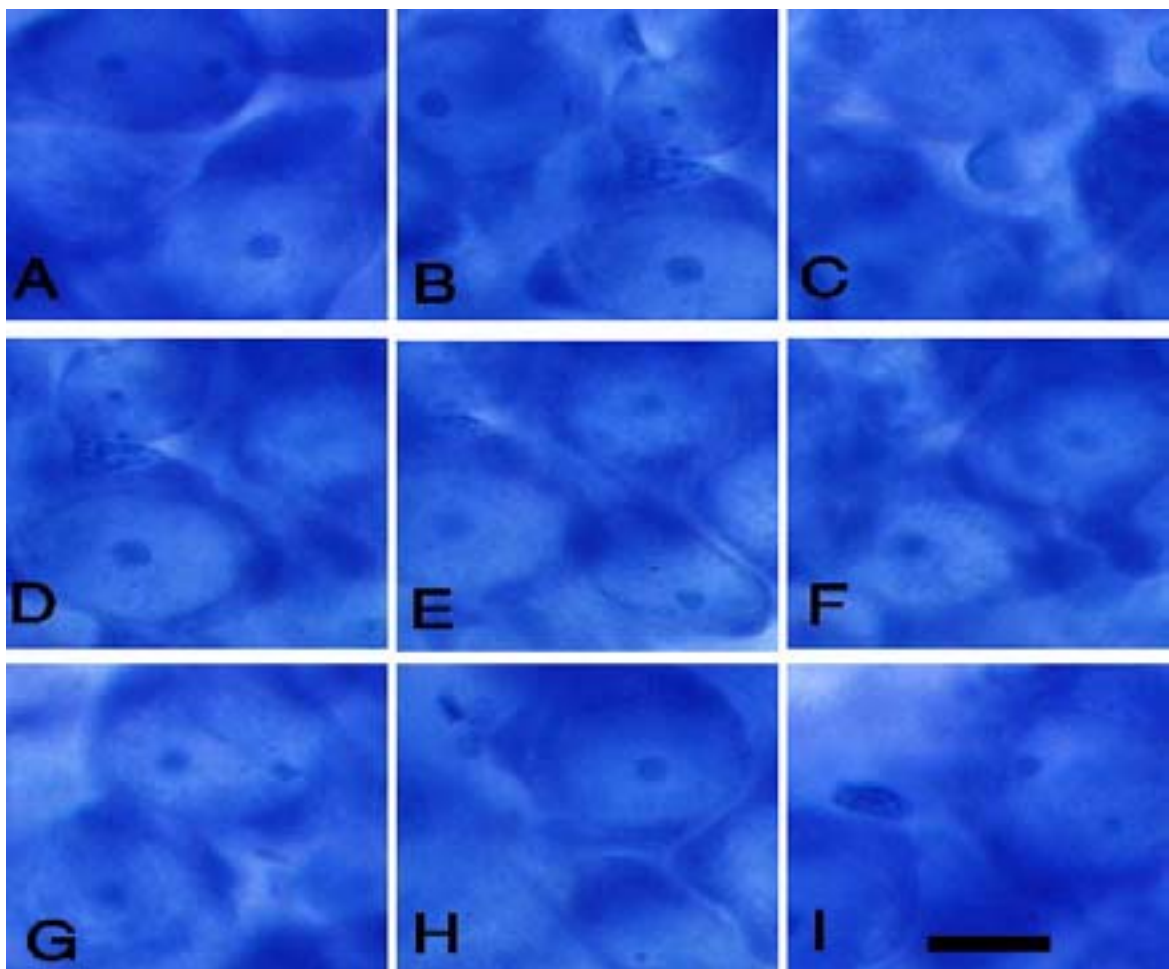
نمودار ۱. توزیع نوروها در ضخامت برشهای ویبرتومی هیپوکامپوس رت (رنگ آمیزی به روش شناور و قالب گیری در رزین)

تعداد کل نوروها شمرده شده ۶۶۲ عدد است. سطح فوقانی برش (که مجاور لامل است) ۱۰ درصد است و سطح پایینی برش (که مجاور لام است) ۱۰۰ درصد است. در سطوح

تعداد کل نورون شمرده شده ۵۰۱ عدد است. سطح فوقانی برش (که مجاور لامل است) ۱۰ درصد است و سطح پایینی برش (که مجاور لام است) ۱۰۰ درصد است. در سطوح فوقانی و تحتانی این برشها تراکم نورونی بیشتر و در نواحی مرکزی، تراکم نورونی کمتر و تقریباً یکنواخت است. تعداد کل نورون شمرده شده ۴۷۴ عدد است. سطح فوقانی برش (که مجاور لامل است) ۱۰ درصد است و سطح پایینی برش (که مجاور لام است) ۱۰۰ درصد است. در سطوح فوقانی و تحتانی برشهای پارافینی تراکم نورونی بیشتر و در نواحی مرکزی تراکم نورونی کمتر و غیر یکنواخت است.



نمودار ۳. توزیع نورونها در ضخامت برشهای پارافینی از هیپوکامپوس رت



شکل ۲. تصویر نورون CA3 هیپوکامپوس رت بالغ.

برشهای پارافینی با رنگ آمیزی معمولی (A-C)، برشهای ویبرتومی با رنگ آمیزی معمولی (D-F)، برشهای ویبرتومی با رنگ آمیزی شناور (G-I) موقعیت هسته‌ها در ضخامت برشها: سطح بالایی برش (A,D,G)، بخش مرکزی برش (B,E,H) و سطح پایینی برش (C,F,I)، مقیاس ۱۰ میکرون

بحث

یافته‌ها نشانگر آن است که در سطوح فوقانی و تحتانی برشهای ویبرتومی که به طور شناور رنگ آمیزی و در داخل رزین قالب گیری شده بودند تراکم سلولی کمتر است اما در بخشهای میانی ضخامت برش تراکم نورونی تقریباً یکنواخت است؛ در توجیه تراکم کمتر سلولها در سطوح فوقانی و تحتانی برشهای ویبرتومی که به روش شناور رنگ شده اند می توان گفت در دو سطح برش به وسیله تیغ برش سلولهای زیادی پاره شده و در مراحل رنگ آمیزی، هسته های آنها از سلول خارج شده اند؛ بنابراین تراکم سلولی در سطوح کمتر است [۵-۱۱].

در ضخامت برشهای ویبرتومی که به روش معمول تهیه شده اند در سطوح فوقانی و تحتانی برش تراکم سلولی بیشتر و در نواحی مرکزی تراکم تقریباً یکنواختی وجود داشته است. در توضیح علت افزایش تراکم سلولی در سطوح بالایی و پایینی این برشها می توان به عامل فشردگی بافت اشاره نمود که انقباض و فشردگی شدن سطوح باعث افزایش تراکم سلولی در این نواحی می شود. واضح است که در مطالعات مورفومتریک اگر نمونه گیری از سطوح مورد اشاره در هر دو روش مذکور انجام گیرد، به دلیل آنکه این تراکم سلولی (کم یا زیاد) بیانگر توزیع نرمال نورونی در ضخامت بافت نیست، نتایج unbiased نیست.

اندرسون (Andersen) و گاندرسون (Gundersen) در سال ۱۹۹۹ برشهای ویبرتومی به ضخامت ۱۰۰ میکرون را از هسته دندانهای مخروطی انسان تهیه و به روش معمول رنگ آمیزی نمودند. ضخامت نهایی این برشها حدود ۴۴ میکرون بود و در سطوح فوقانی و تحتانی آن تراکم سلولی کمتر از مرکز بود [۵].

در سال ۲۰۰۱ در مطالعه ای دورف پیترسون (Dorph-Petersen) برشهای ویبرتومی از هسته رافه ساقه مغز

انسان به ضخامت ۱۰۰ میکرون تهیه و به روش معمولی رنگ آمیزی نمود. پس از رنگ آمیزی معلوم شد که ضخامت نهایی برشها به حدود ۱۶ تا ۳۹ میکرون کاهش یافته است [۶].

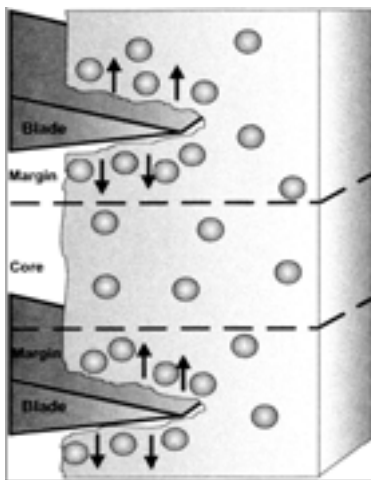
اما در بررسی دیده شد که در سطوح فوقانی و تحتانی برشهای پارافینی تراکم نورونی بیشتر و در نواحی مرکزی تراکم نورونی کمتر و غیر یکنواخت است. هاتن (Hatton) و همکارانش در همین سال گزارشی منتشر نمودند که نشان می داد رنگ آمیزی برشهای پارافینی منجر به توزیع نامتقارن نورونها در ضخامت برشهای مذکور شده است به نحوی که در دو سطح بالایی و پایینی این برشها در مقایسه با ناحیه مرکزی تعداد بیشتری نورون قرار گرفته اند [۷].

نتایج این مطالعه از آن نظر اهمیت دارد که برای اولین بار برشهای ویبرتومی ضخیم از هیپوکامپوس تهیه و چنان مراحل رنگ آمیزی اصلاح شده است که پس از رنگ آمیزی کمترین کاهش ضخامت را داشته است، علاوه بر این توزیع نورونها در بخش بزرگی از ضخامت بافت یکنواخت بوده است که در مجموع، این دو خصوصیت باعث می شود که این برشها برای مطالعات مورفومتریک کاملاً مناسب باشند چرا که با حفظ ضخامت بافت به راحتی سلولها از یکدیگر قابل تشخیص بوده و می توان آنها را شمارش نمود. از طرفی توزیع یکنواخت نورونها در بخشهای مرکزی بافت که در روش دایسکتور اپتیکال برای نمونه برداری مورد استفاده قرار می گیرد موجب می شود که محاسبه تعداد نورونها بدون تورش باشد.

این روش بر برشهای پلاستیک که به خاطر تغییر شکل ناچیز اغلب برای تهیه برشهای ضخیم مورد استفاده قرار می گیرد این مزایا را دارد که علاوه بر سریع، آسان و ارزان بودن به راحتی می تواند در رنگ آمیزیهای ایمنونوهیستوشیمیایی به کار رود چون که آنتی بادی ها به آسانی در برشهای

در برشهای پارافینی تراکم نوری در نواحی مرکزی بافت، غیر یکنواخت و نوسانی و کمتر از سطوح فوقانی و تحتانی است. بنابراین برای محاسبه استریولوژیک تعداد ذرات خیلی مناسب نیست. کاهش و افزایش نوسانی تراکم سلولی در مرکز بافت ممکن است در ارتباط با کاهش یا افزایش فشردگی در این نواحی باشد [۹].

اخیراً هم در مطالعه ای که توسط باریشین کوا (Baryshnikova) و همکارانش (۲۰۰۶) انجام شده، معلوم شده است که اندازه ضخامت برشهای ویرتومی بعد از رنگ آمیزی معمولی از ۱۰۰ میکرون به ۵۶/۲ میکرون و ضخامت برشهای پارافینی از ۴۰ میکرون به ۳۰/۳ میکرون کاهش یافته است [۱۰]. در این مطالعه در سطوح فوقانی و تحتانی برشهای ویرتومی کاهش تراکم نوری و نیز در نواحی مرکزی برشهای پارافینی توزیع نوسانی نورونها گزارش شده است که با نتایج مطالعه حاضر همخوانی دارد.



شکل ۳. اثر تیغ برش بر توزیع ذرات در ضخامت برش بافتی

تیغ هنگام برش باعث فشردگی لبه های بالایی و پایینی برش می شود. بنابراین تراکم ذرات در سطوح فوقانی و تحتانی برش نسبت به مرکز بیشتر می شود.

نتایج این مطالعه نشان داد که روشهای رنگ آمیزی بر میانگین ضخامت نهایی برشهای ویرتومی و پارافینی تاثیر معنی داری

پلاستیک نفوذ نمی کنند. اما در این برشهای ویرتومی رنگ آمیزی ایمونوهیستوشیمیایی قبل از قرار دادن برش در رزین انجام می شود و بنابراین آنتی بادی به راحتی در بافت نفوذ می کند. همچنین وقتی که آنتی ژنهای مورد نظر به دهیدراتاسیون (به منظور قالب گیری بافت) حساسند روشهایی که مستلزم قالب گیری هستند (مثل پارافینی و پلاستیک) مناسب نیستند و در این موارد می توان از روش ویرتومی استفاده نمود [۸].

در برشهای ویرتومی که به روش معمول رنگ شده اند، با آنکه تراکم در بخش مرکزی بافت تا حدودی یکسان است اما کاهش زیاد ضخامت بافت باعث می شود که تفکیک سلولها و شمارش نورونها در لایه های سلولی هیپوکامپوس فوق العاده مشکل باشد. بنابراین استفاده از این روش رنگ آمیزی در برشهای ضخیم هیپوکامپوس پیشنهاد نمی شود گرچه برای مطالعات مورفومتریک نواحی کم سلول مغز می تواند مفید و ارزشمند باشد. نقطه قوت این روش در مقایسه با روش شناور، سریع، راحت و ارزان بودن آن است. گاردلا (Gardella) و همکاران در سال ۲۰۰۳ میزان فشردگی در ضخامت مقاطع ویرتومی، پلاستیک و انجمادی از هسته های زوج سوم مغزی جنین جوجه را با هم مقایسه کردند. آنها در مطالعه اشان نشان دادند که ضخامت نهایی برشهای ویرتومی که به روش معمول رنگ شده بودند از ۱۰۰ به حدود ۴۷ میکرون کاهش یافته است و توزیع نوریون در ضخامت برشهای ویرتومی غیر یکسان است و این مقدار در سطوح بیش از مرکز است. علاوه بر این توزیع نوریون در بخشهای مرکزی برش هم غیر یکنواخت است. آنها در همین مطالعه توزیع نوریون را در برشهای پارافینی بررسی نمودند و توزیع غیر یکنواخت و نوسانی نورونها را در بخشهای مرکزی برش گزارش نمودند. یافته ای که نتایج مطالعه ما هم آن را تایید می کند [۹].

رژین قرار داده می شود، چون در هیچ یک از مراحل مختلف رنگ آمیزی، برشها در معرض هوا قرار نگرفته و به صورت شناور در محلولها قرار دارند. کاهش ضخامت برش به حداقل می رسد و این روش برای رنگ آمیزی برشهای ویبرتومی پیشنهاد می شود.

۲- در محاسبات استریولوژیک برای تخمین تعداد ذرات قبل از انجام مورفومتری، یک آنالیز از نحوه توزیع ذرات در ضخامت برشهای تهیه شده (با هر روش تهیه برش) ضرورت دارد.

دارد به طوری که برشهای ویبرتومی که به روش شناور رنگ شده و در رژین قرار گرفته اند در مقایسه با برشهای پارافینی و نیز برشهای ویبرتومی که با روش معمول رنگ شده اند ضخامت بیشتری دارند.

۱- حساس ترین مرحله رنگ آمیزی معمولی برشهای ویبرتومی زمانی است که برای خشک شدن در معرض هوا و روی لام قرار می گیرند که این عمل منجر به کاهش غیر قابل بازگشت ضخامت برش می شود. اما در روشی که برش در

References

1. **Larsen JO, Gundersen HJG.** Global spatial sampling with virtual plane. *J microsc* 1998; 191: 238-48.
2. **Gundersen HJG, Bagger P, Bendtsen TF, Evans SM, Korbo L, Marcussen, N, Moller A, Nielsen K, Nyengaard JR, Pakkenberg B, Sørensen FB, Vesterby A, West MJ.** The new stereological tools: disector, fractionator, nucleator and point sampled intercepts and their use in pathological research and diagnosis. *APMIS* 1988; 96: 857-81
3. **Dorph-Petersen KA, Rosenberg R, Nyengaard JR.** Estimation of number and volume of immunohistochemically stained neurons in complex brain regions. In: Evans SM, Janson AM, Nyengaard JR, editors. *Quantitative methods in neuroscience. A neuroanatomical approach.* Oxford, Oxford University Press 2004, pp 231-2.
4. **Eichenbaum H.** **The hippocampus and mechanism of declarative memory.** *Behav Brainres* 1999; 103: 123-33.
5. **Andersen BB, Gundersen HJG.** Pronounced loss of cell nuclei and anisotropic deformation of thick sections. *J Microsc* 1999; 196: 69-73.
6. **Dorph-Petersen KA, Nyengaard JR, Gundersen HJG.** Tissue shrinkage and unbiased stereological estimation of particle number and size. *J Microsc* 2001; 204: 232-46.
7. **Hatton WJ, von Bartheld CS.** Analysis of cell death in the trochlear nucleus of the chick embryo: calibration of the optical disector counting method reveals systematic bias. *J. Comp. Neurol* 1999; 409: 169-86.
8. **Stuart DA, Oorschot DE.** Embedding, sectioning, immunocytochemical and stereological methods that optimise research on the lesioned adult rat spinal cord. *J Neurosci Methods* 1995; 61: 5-14.
9. **Gardella D, Hatton WJ, Rind HB, Rosen GD, Batheld CHS.** Differential tissue shrinkage and compression in the z-axis implications for optical disector counting in vibratome, plastic and cryosections. *J Neurosci Method* 2003; 124: 45-59.
10. **Baryshnikova LM, Von Bohlen Und Halbach O, Kaplan S, Von Bartheld CS.** Two distinct events, section compression and loss of particles ("lost caps"), contribute to z-axis distortion and bias in optical disector counting. *Microsc Res Tech* 2006; 69: 738-56.
11. **Dorph-Petersen KA, Rosenberg R, Nyengaard JR.** Estimation of number and volume of immunohistochemically stained neurons in complex brain regions. In: Evans SM, Janson AM, Nyengaard JR, editors. *Quantitative Methods in Neuroscience. A Neuroanatomical Approach.* Oxford: Oxford University Press 2004, pp 231-2.